

Алгоритмы для задачи матирования

Юрий Гитман

Video Group
CS MSU Graphics & Media Lab

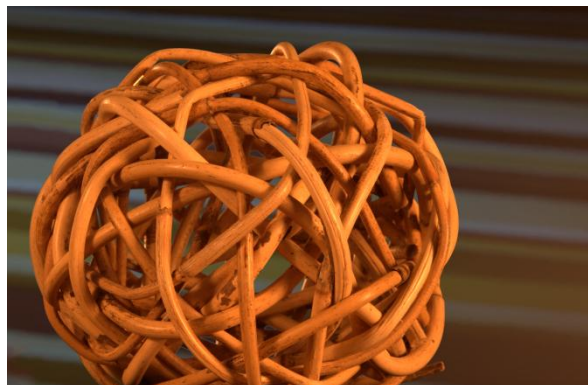


Table of content

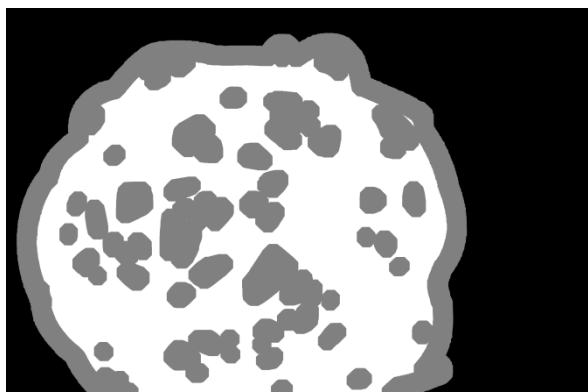
- **Introduction**
- Guided Filter
- PatchMatch
- Closed-form Matting
- Alpha Flow
- Conclusion

Matting problem

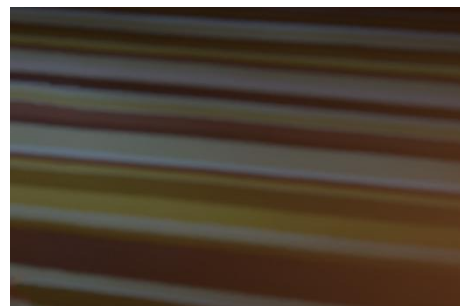
Common statement



Исходное изображение



Грубая разметка (Trimap)



Фон



Карта
Прозрачности



Объект

State of the art Image Matting



Sum of Absolute Differences

	Overall rank	Average (small trimap)	Average (large trimap)	Average (user-defined trimap)
SVR Matting (Support Vector Regression)	5.2	6.3	4.8	4.5
Weighted Color and Texture Matting	5.5	4.5	6.5	5.4
Shared Matting	6.1	6.0	7.5	4.9
Global Sampling Matting	7.3	5.5	8.8	7.8
Segmentation-based Matting	7.7	8.0	7.3	7.9
Fast Automatic Matting	7.8	7.1	8.1	8.1
Improved Color Matting	8.2	7.9	7.8	9.0
LSR Matting (Local Spline Regression)	9.0	10.4	6.9	9.6
Global Sampling Matting (filter version)	9.1	8.4	9.8	9.3
KNN Matting (K-Nearest Neighbor)	9.7	11.1	10.5	7.4
Learning-based Matting	10.1	10.3	9.4	10.6
LMSPIR Matting	10.2	9.4	10.9	10.3
Shared Matting (real-time)	10.3	10.4	10.4	10.3
Closed-form Matting	10.5	10.1	9.1	12.4

Problem of papers on Video matting



« Да, статей по matting'у во времени не мало, но многие из них опираются на существование идеального оптического потока »

Михаил Ерофеев



В предыдущих сериях

Mirage 2011

Towards Temporally-Coherent Video Matting

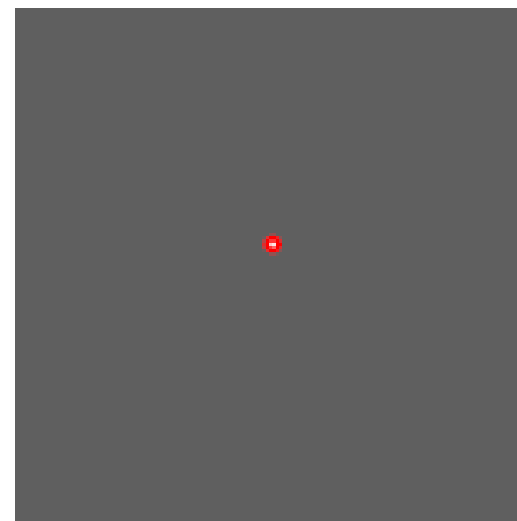
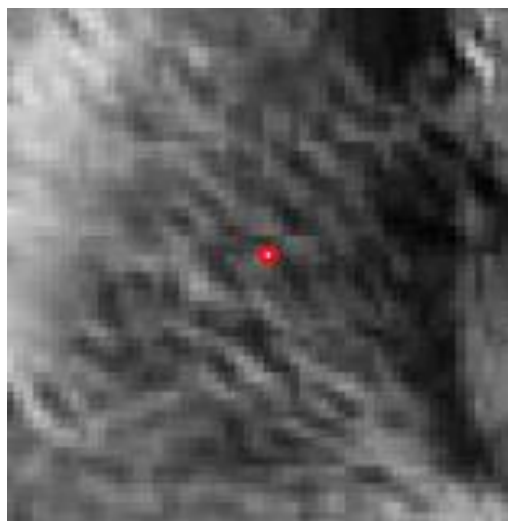
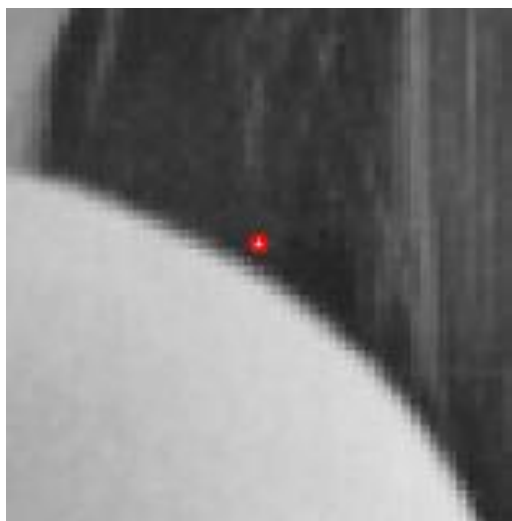
Xue Bai, Jue Wang, David Simons
Adobe Systems



Содержание

- Introduction
- **Guided Filter**
- PatchMatch
- Closed-form Matting
- Alpha Flow
- Conclusion

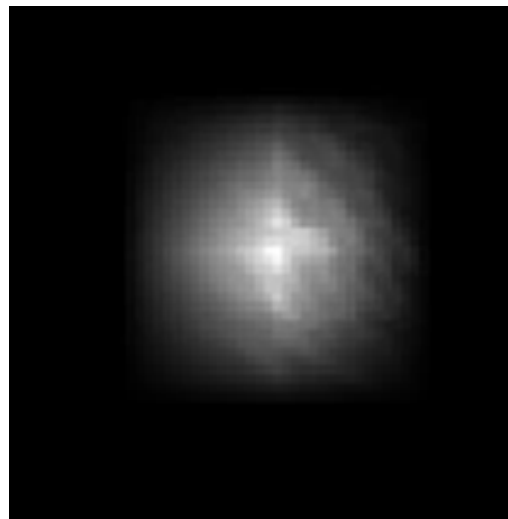
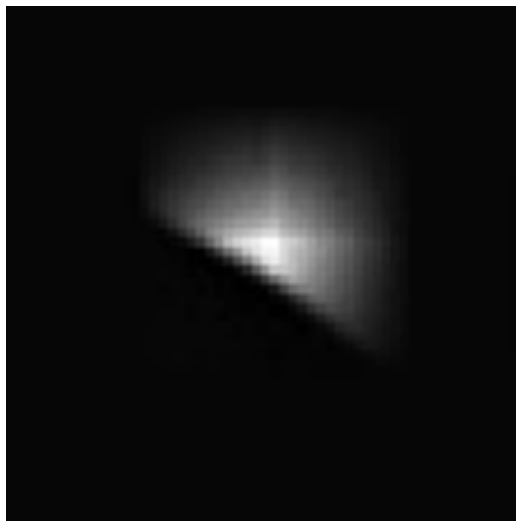
New edge-preserving filter



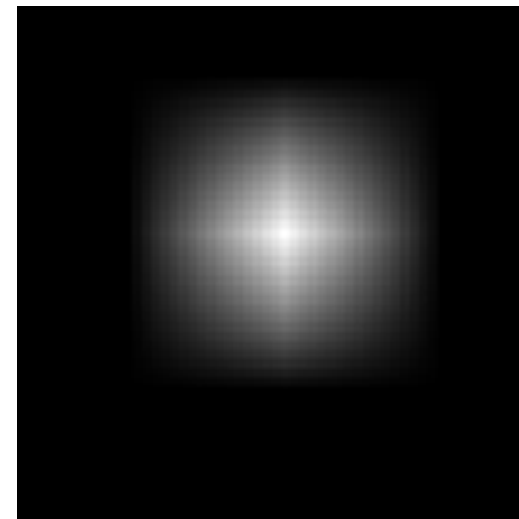
Guidance



New edge-preserving filter

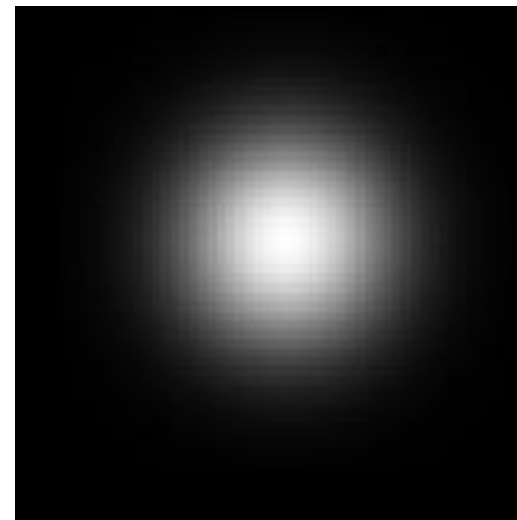
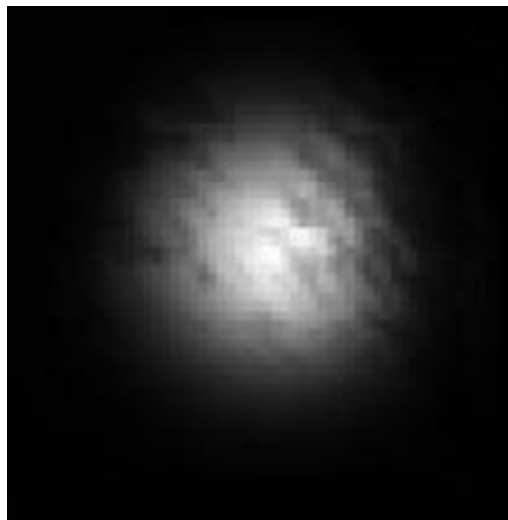
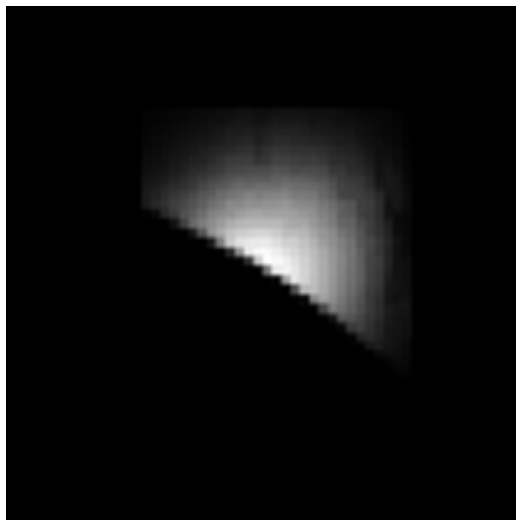


Guided Filter





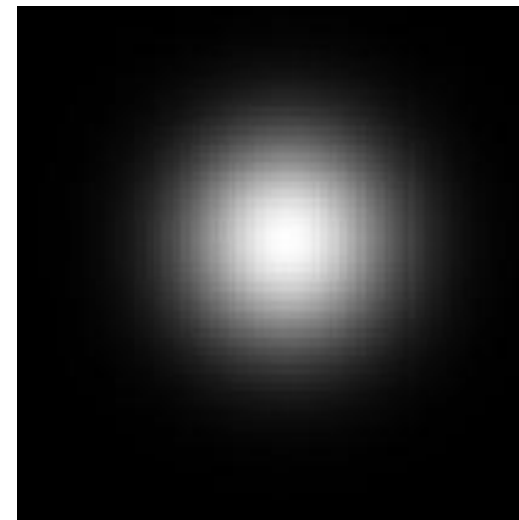
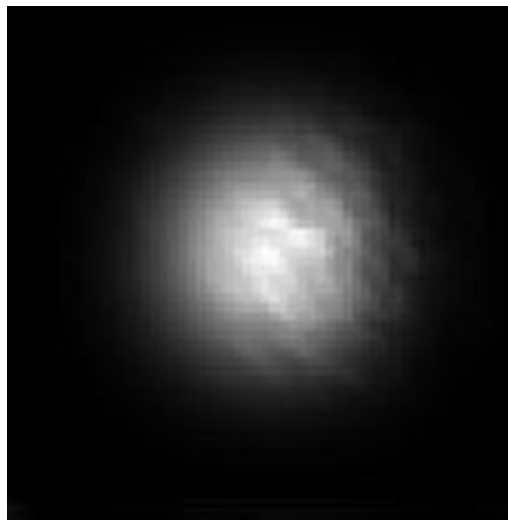
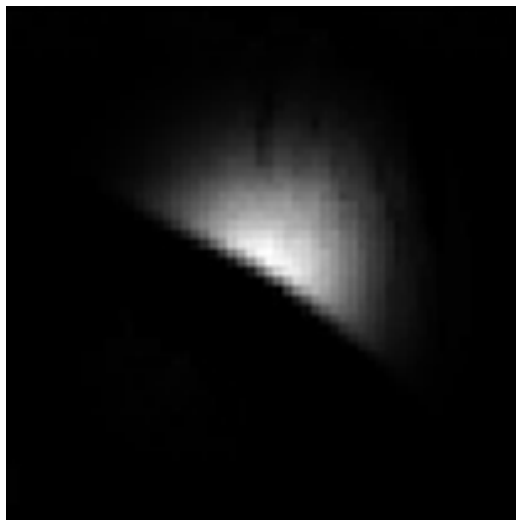
New edge-preserving filter



Bilateral Filter



New edge-preserving filter



Gaussian Guided Filter



Idea of Filtering

Для каждого окна p_k :

$$p_{i,j}^k = a_k I_{i,j} + b_k$$

Коэффициенты a_k и b_k , определяются так, чтобы наилучшим образом соответствовать исходному изображению

Steps of the Algorithm

Algorithm 1 Guided Filter.

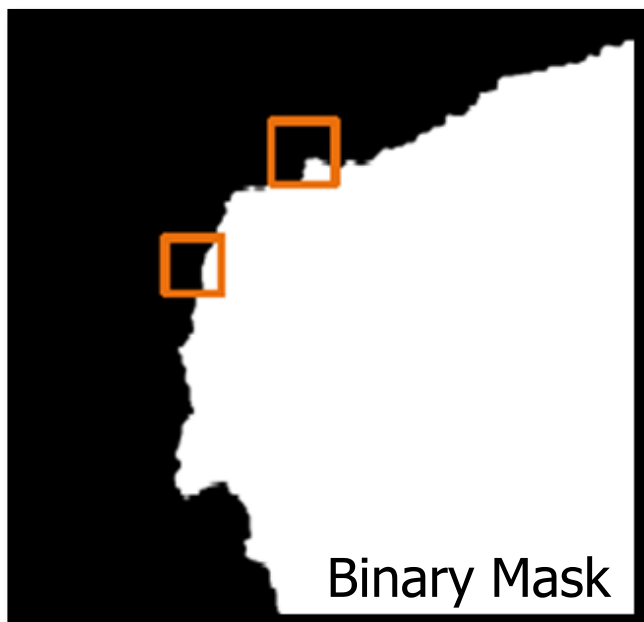
Input: filtering input image p , guidance image I , radius r , regularization ϵ

Output: filtering output q .

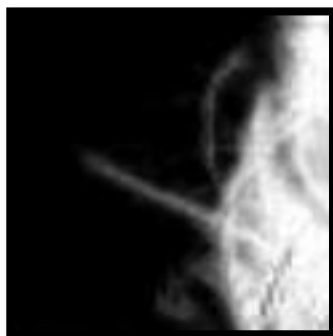
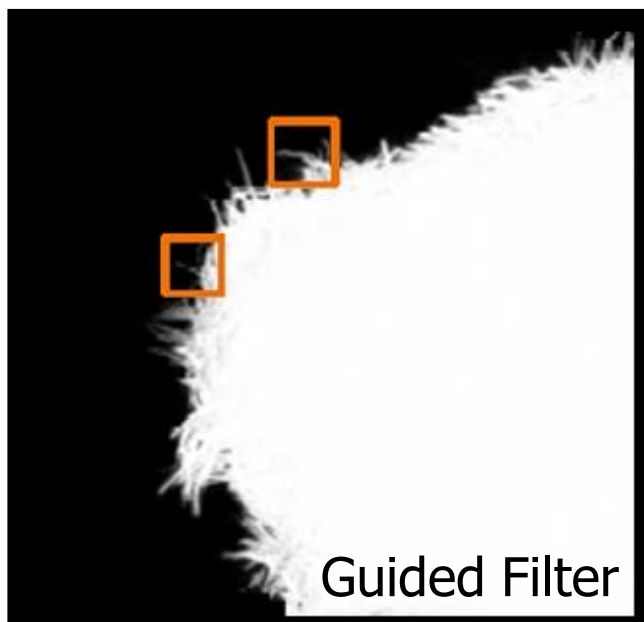
- 1: $\text{mean}_I = f_{\text{mean}}(I)$
 $\text{mean}_p = f_{\text{mean}}(p)$
 $\text{corr}_I = f_{\text{mean}}(I \cdot I)$
 $\text{corr}_{Ip} = f_{\text{mean}}(I \cdot p)$
- 2: $\text{var}_I = \text{corr}_I - \text{mean}_I \cdot \text{mean}_I$
 $\text{cov}_{Ip} = \text{corr}_{Ip} - \text{mean}_I \cdot \text{mean}_p$
- 3: $a = \text{cov}_{Ip} ./ (\text{var}_I + \epsilon)$
 $b = \text{mean}_p - a \cdot \text{mean}_I$
- 4: $\text{mean}_a = f_{\text{mean}}(a)$
 $\text{mean}_b = f_{\text{mean}}(b)$
- 5: $q = \text{mean}_a \cdot I + \text{mean}_b$

/* f_{mean} is a mean filter with a wide variety of $O(N)$ time methods. */

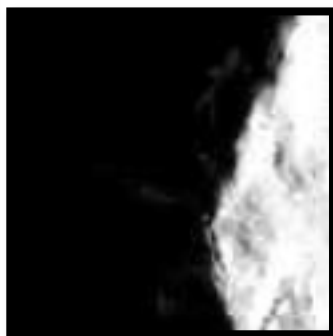
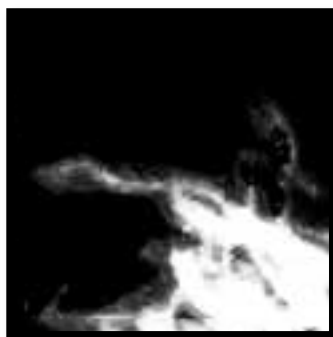
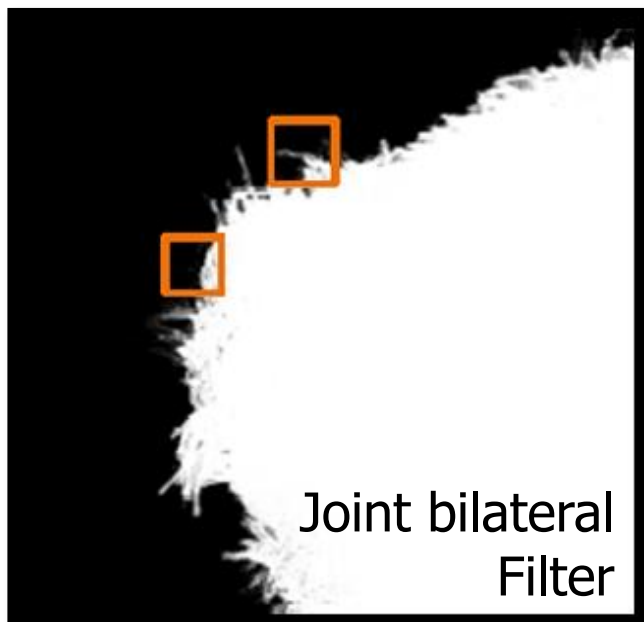
Application to Matting



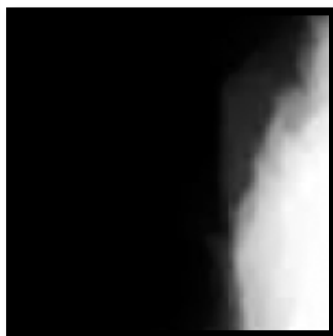
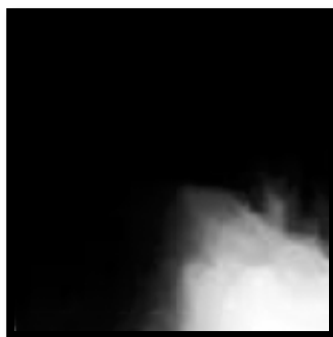
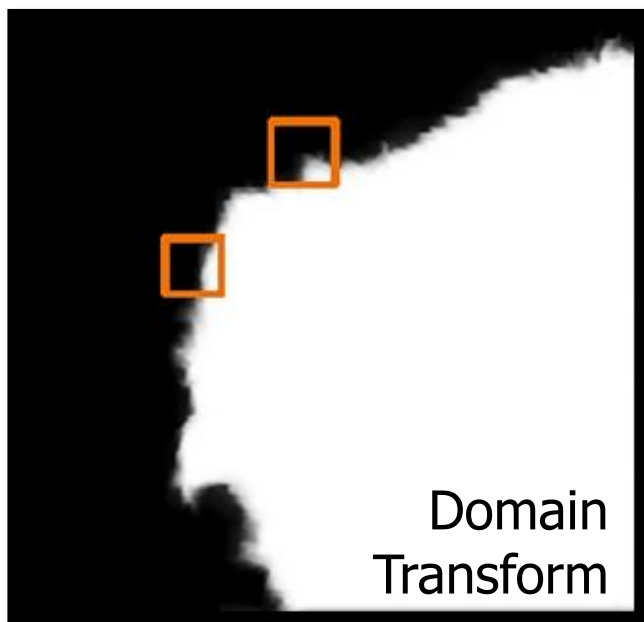
Application to Matting



Application to Matting



Application to Matting





Содержание

- Introduction
- Guided Filter
- **PatchMatch**
- Closed-form Matting
- Nonlocal Matting
- Alpha Flow
- Conclusion

Fast k nearest neighbors search (KNN)

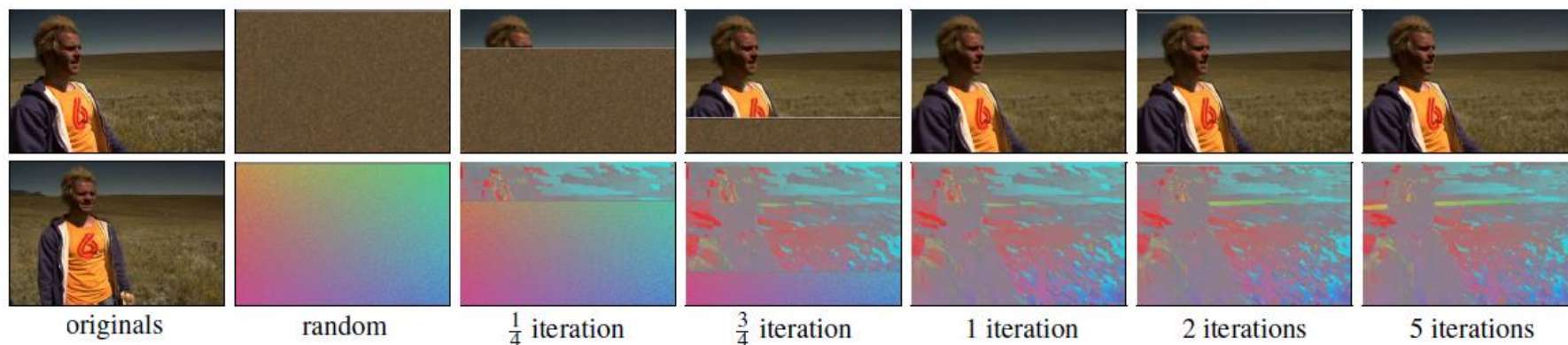


PatchMatch: A Randomized Correspondence Algorithm for Structural Image Editing

Connelly Barnes¹, Eli Shechtman^{2,3},
Adam Finkelstein¹, and Dan B Goldman²

¹Princeton University
²Adobe Systems
³University of Washington

Пример работы алгоритма



Поиск потока из нижнего изображения в верхнее.
 Hue компонента соответствует углу
 Magnitude компонента длине вектора

Детали алгоритма (1)

```
pm_minimal.cpp
134  /* Match image a to image b, returning the nearest neighbor field mapping a => b coords, stored in an RGB 24-bit image as (by<<12)|bx. */
135  void patchmatch(BITMAP *a, BITMAP *b, BITMAP *&ann, BITMAP *&annd) {
136      /* Initialize with random nearest neighbor field (NNF). */
137      ann = new BITMAP(a->w, a->h);
138      annd = new BITMAP(a->w, a->h);
139      int aew = a->w - patch_w+1, aeh = a->h - patch_w + 1;      /* Effective width and height (possible upper left corners of patches). */
140      int bew = b->w - patch_w+1, beh = b->h - patch_w + 1;
141      memset(ann->data, 0, sizeof(int)*a->w*a->h);
142      memset(annd->data, 0, sizeof(int)*a->w*a->h);
143      for (int ay = 0; ay < aeh; ay++) {
144          for (int ax = 0; ax < aew; ax++) {
145              int bx = rand()%bew;
146              int by = rand()%beh;
147              (*ann)[ay][ax] = XY_TO_INT(bx, by);
148              (*annd)[ay][ax] = dist(a, b, ax, ay, bx, by);
149          }
150      }
151      for (int iter = 0; iter < pm_iters; iter++) {
152          /* In each iteration, improve the NNF, by looping in scanline or reverse-scanline order. */
153          int ystart = 0, yend = aeh, ychange = 1;
154          int xstart = 0, xend = aew, xchange = 1;
155          if (iter % 2 == 1) {
156              xstart = xend-1; xend = -1; xchange = -1;
157              ystart = yend-1; yend = -1; ychange = -1;
158          }
159          for (int ay = ystart; ay != yend; ay += ychange) {
160              for (int ax = xstart; ax != xend; ax += xchange) {
161                  /* Current (best) guess. */
162                  int v = (*ann)[ay][ax];
163                  int xbest = INT_TO_X(v), ybest = INT_TO_Y(v);
164                  int dbest = (*annd)[ay][ax];
```

Детали алгоритма (2)

```
pm_minimal.cpp
166 /* Propagation: Improve current guess by trying instead correspondences from left and above (below and right on odd iterations). */
167 if ((unsigned) (ax - xchange) < (unsigned) aew) {
168     int vp = (*ann)[ay][ax-xchange];
169     int xp = INT_TO_X(vp) + xchange, yp = INT_TO_Y(vp);
170     if ((unsigned) xp < (unsigned) bew) {
171         improve_guess(a, b, ax, ay, xbest, ybest, dbest, xp, yp);
172     }
173 }
174
175 if ((unsigned) (ay - ychange) < (unsigned) aeh) {
176     int vp = (*ann)[ay-ychange][ax];
177     int xp = INT_TO_X(vp), yp = INT_TO_Y(vp) + ychange;
178     if ((unsigned) yp < (unsigned) beh) {
179         improve_guess(a, b, ax, ay, xbest, ybest, dbest, xp, yp);
180     }
181 }
182
183 /* Random search: Improve current guess by searching in boxes of exponentially decreasing size around the current best guess. */
184 int rs_start = rs_max;
185 if (rs_start > MAX(b->w, b->h)) { rs_start = MAX(b->w, b->h); }
186 for (int mag = rs_start; mag >= 1; mag /= 2) {
187     /* Sampling window */
188     int xmin = MAX(xbest-mag, 0), xmax = MIN(xbest+mag+1,bew);
189     int ymin = MAX(ybest-mag, 0), ymax = MIN(ybest+mag+1,beh);
190     int xp = xmin+rand()%(xmax-xmin);
191     int yp = ymin+rand()%(ymax-ymin);
192     improve_guess(a, b, ax, ay, xbest, ybest, dbest, xp, yp);
193 }
194
195 (*ann)[ay][ax] = XY_TO_INT(xbest, ybest);
196 (*annd)[ay][ax] = dbest;
```



Содержание

- Introduction
- Guided Filter
- PatchMatch
- **Closed-form Matting**
- Nonlocal Matting
- Alpha Flow
- Conclusion

Предположение о природе изображений



Основное уравнение matting'a:

$$\alpha F + (1 - \alpha)B = I$$

$$\rightarrow \alpha = \frac{I - B}{F - B} = aI - b$$

Предположим, что коэффициенты

a, b локально постоянны

(окрестности 3×3 в авторской реализации)

Matting Laplacian (1)

Предположив локальную линейность α , мы можем построить функционал, экстремум которого будет решением:

$$J(\alpha, a, b) = \sum_{j \in I} \left(\sum_{i \in \omega_j} (\alpha_j - a_j I_i - b_j)^2 + \epsilon a_j^2 \right)$$

Тогда

$$\alpha = \arg \min_{\alpha} J(\alpha) = \arg \min_{\alpha} \left[\min_{a, b} J(\alpha, a, b) \right]$$

Matting Laplacian (2)

$$\min_{a,b} J(\alpha, a, b) = J(\alpha, \operatorname{argmin}_{a,b} J(\alpha, a, b))$$

$$\operatorname{argmin}_{a,b} J(\alpha, a, b) = \sum_{j \in I} \left(\sum_{i \in \omega_j} (\alpha_i - a_j I_j - b_j)^2 + \epsilon a_j^2 \right) =$$

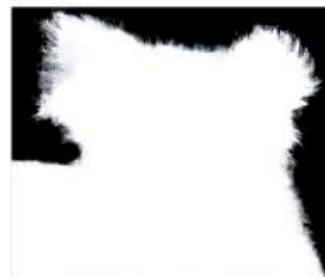
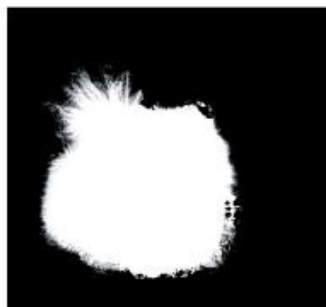
$$= \sum_k \left\| G_k \begin{bmatrix} a_k \\ b_k \end{bmatrix} - \vec{\alpha}_k \right\|^2$$

$$\rightarrow J(\alpha) = \sum_k \vec{\alpha}_k^T \hat{G}_k^T \hat{G}_k \vec{\alpha}_k$$

где $\hat{G}_k = I - G_k (G_k^T G_k)^{-1} G_k^T$

$$\rightarrow J(\vec{\alpha}) = \vec{\alpha}^T L \vec{\alpha}$$

Results (1)



Input image

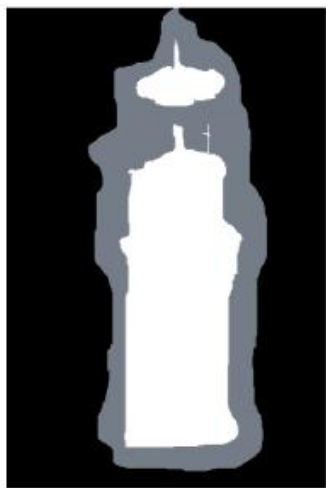
Bayesian Matting

Poisson matting

Closed-form matting

Scribbles

Results (2)



Input image

Trimap

Bayesian matting

Scribbles

Closed-form matting

Results (3)



Input image



Matting result



Foreground
reconstruction



Background
reconstruction



New background



Содержание

- Introduction
- Guided Filter
- PatchMatch
- Closed-form Matting
- Nonlocal Matting
- **Alpha Flow**
- Conclusion

Предположение о природе движения в видео



Шаги Алгоритма (1)

1. Инициализация альфа потока значениями оптического потока для RGB
2. Обработка occlusions: построение цепочек (суперпикселей во времени)
3. Перерасчет значений прозрачности

Шаги Алгоритма (2)

4. Фильтрация (Guided Filter), чтобы подавить артефакты в виде больших полупрозрачных областей (в конце этот шаг может быть пропущен)
5. Вычисление альфа потока
6. Переход на шаг 2

Вычисление оптического потока (1)



$$\begin{aligned} E(V) &= \\ &= \sum_{x,y,t} (\alpha(x, y, t) - \alpha(x + V_x, y + V_y, t + 1))^2 + \\ &+ \lambda(|V_x|^2 + |V_y|^2) \end{aligned}$$

Первое и третье слагаемое оптимизируются

попеременно $E_D(V) + \frac{\lambda}{2\theta}(U - V)^2 + E_S(V)$

Вычисление оптического потока (2)



Первое слагаемое:

PatchMatch-based Motion Estimation

Второе слагаемое:

Решение линейной системы уравнений
(если я не ошибаюсь)

Вообще, говоря условие гладкости может быть включено и в PatchMatch [Besse 2012]



Обработка occlusions

Оптический поток вычисляется в обе стороны

Если вектора в обоих направлениях приблизительно совпадают (если я не ошибаюсь), то они образуют ненаправленное ребро в нашем графе

Попробуем соединять последовательные вектора в цепочки

Алгоритм построения цепочек



Цепочки должны начинаться и заканчиваться в occlusion'ах

На каждом шаге будем «жадно» выбирать две цепочки, которые соединяем, пока цена (приращение оптимизируемой функции) не станет отрицательна

Каждая цепочка дает вклад в зависимости от дисперсии цветов пикселей вдоль нее

Распределение длин цепочек (Avg = 2–4)

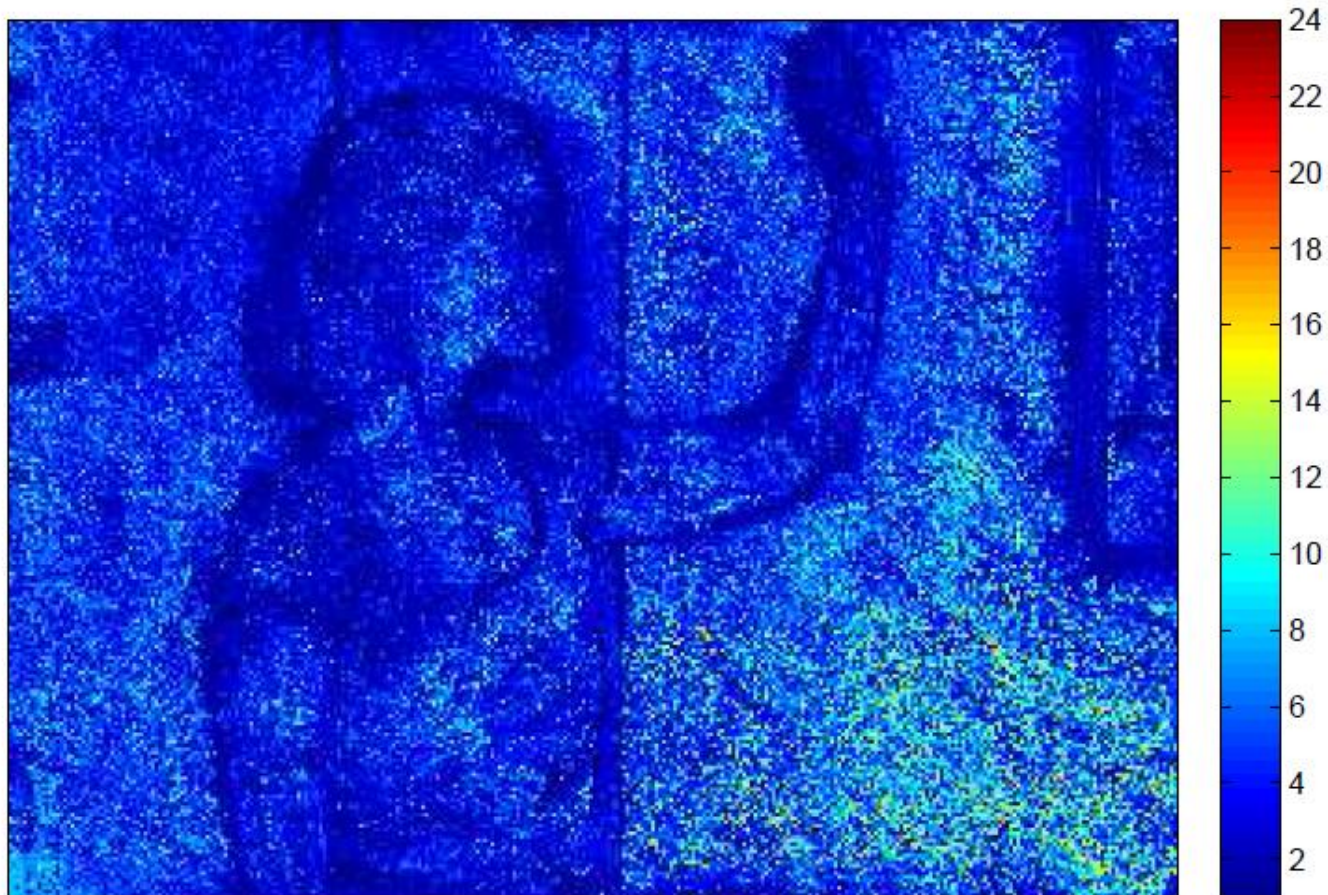


Иллюстрация объединения цепочек

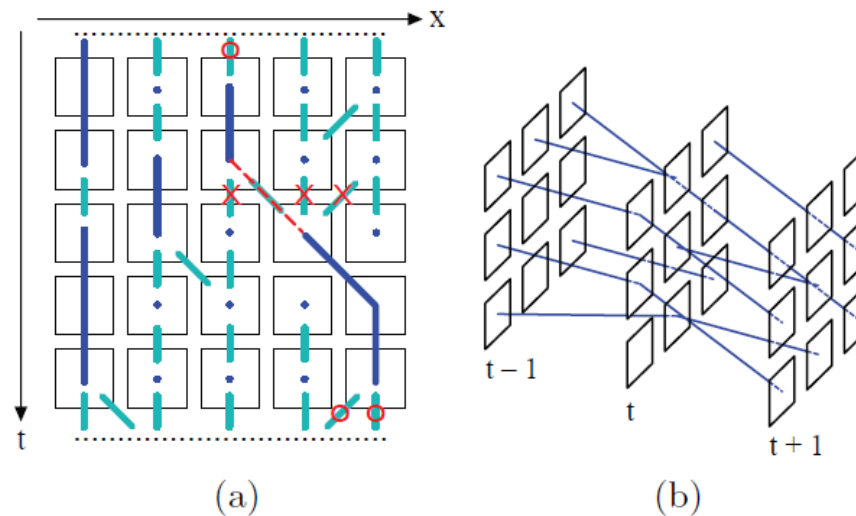


Fig. 6. (a) Superpixel merging procedure. Cyan lines are undirected flow vectors (candidates for merging the trajectories). If the dashed candidate is chosen for merging, adjacent candidates are deleted (marked with red 'x'). Merging gain values are then updated for the candidates adjacent to opposite ends of the merged trajectories (marked with red 'o'). (b) Temporal connections (blue lines) are hard constraints made up from temporal pixel grouping. Spatial connections (not shown) are the same for every frame and define a grid of soft constraints with edge weights based on Laplacian matrices of each frame.

Перерасчет значений прозрачности



Энергия, которую мы оптимизируем на этом шаге:

$$E(\alpha) =$$

$$= \sum_{x,y,t} \omega_{\alpha} (\alpha(x, y, t) - \alpha(x + V_x, y + V_y))^2 +$$

$+\vec{\alpha}^T L_t \vec{\alpha}$, где L_t matting Laplacian

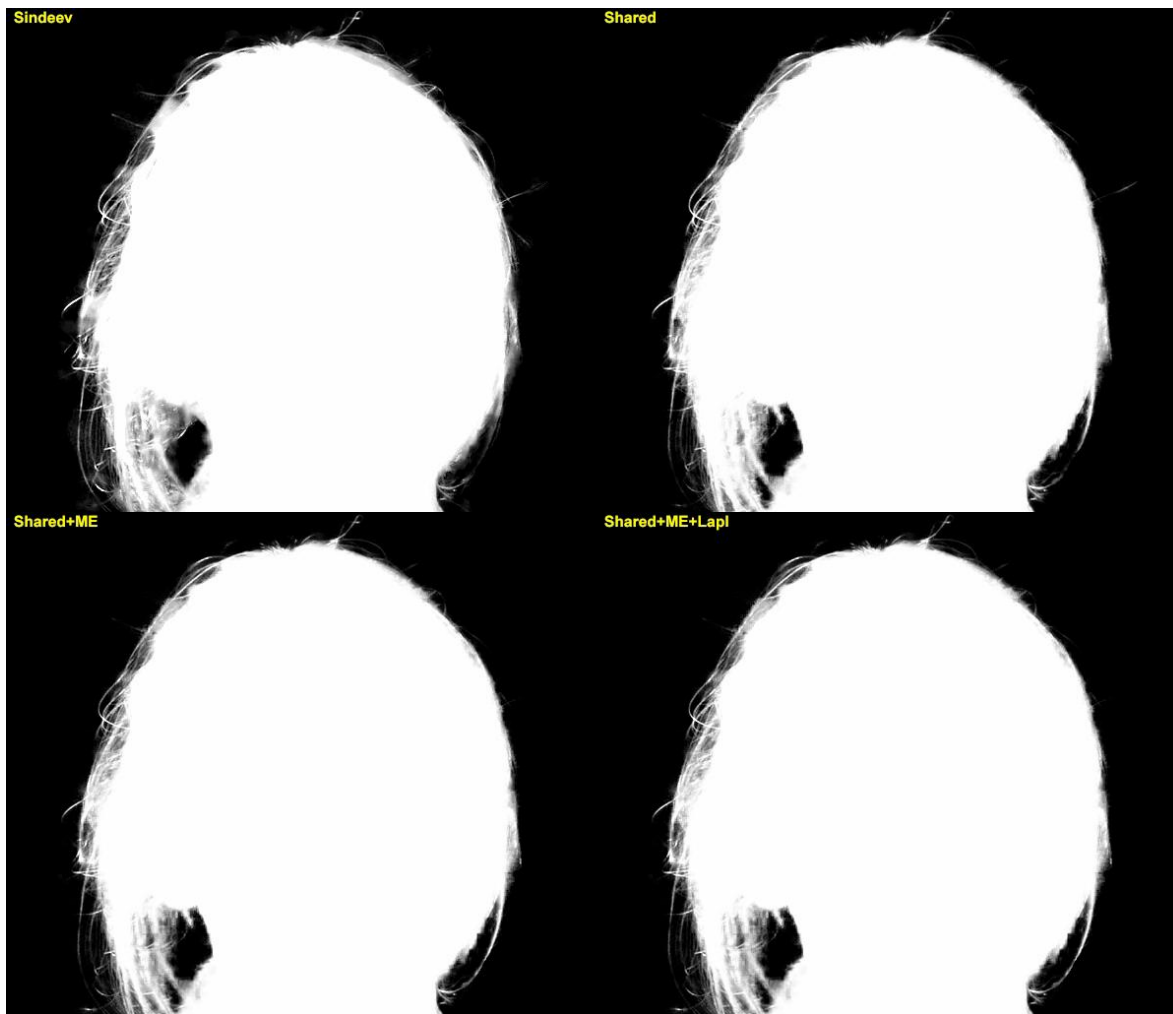
для полученных суперпикселей



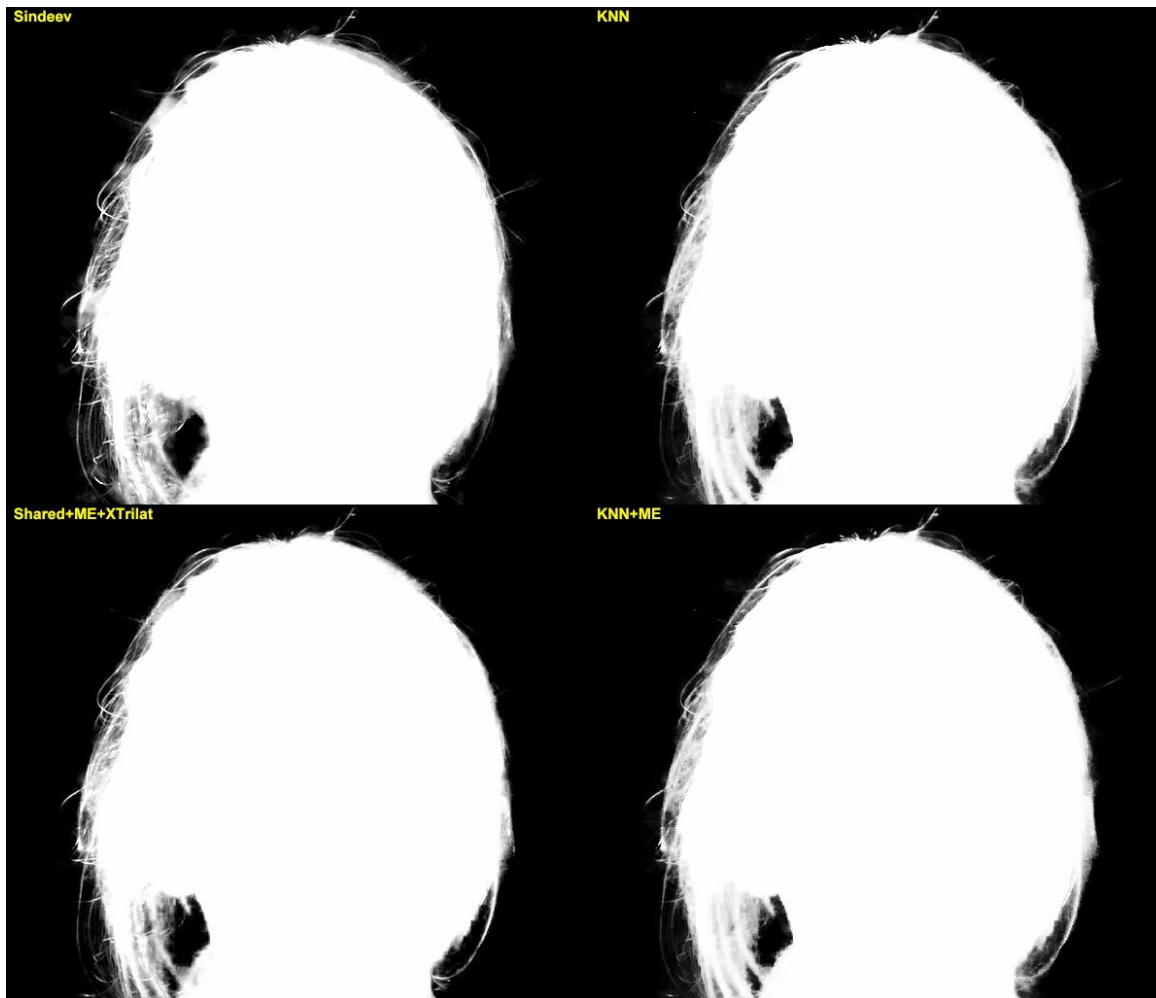
Содержание

- Introduction
- Guided Filter
- PatchMatch
- Closed-form Matting
- Nonlocal Matting
- Alpha Flow
- **Conclusion**

Matting algorithms comparison by M. Erofeev (1)



Matting algorithms comparison by M. Erofeev (1)



Литература

1. M. Sindeev, A. Konushin, and C. Rother, "Alpha Flow for Video Matting," *Asian Conference on Computer Vision (ACCV)*, 2013.
2. K. He, J. Sun, X. Tang, "Guided Image Filtering," in *European Conference on Computer Vision (ECCV)*, 2010, pp. 1–14.
3. C. Barnes, E. Shechtman, A. Finkestein, D. Goldman, "PatchMatch. A Randomized Correspondence Algorithm for Structural Image Editing," in *ACM Transactions on Graphics (TOG)*, 2009, vol. 28, p. 24.
4. F. Besse, C. Rother, A. Fitzgibbon, J. Kautz, "PMBP: PatchMatch Belief Propagation for Correspondence Field Estimation," in *British Machine Vision Conference (BMVC)*, 2012.
5. A. Levin, D. Lischinski, Y. Weiss, "A Closed-form Solution to Natural Image Matting," in *IEEE Pattern Analysis and Machine Intelligence (PAMI)*, 2008, vol. 30, pp. 228–242.

Литература

6. P. Lee, Y. Wu, "Nonlocal Matting," in *IEEE Computer Vision and Pattern Recognition (CVPR)*, 2011, pp. 2193–2200.
7. X. Bai, J. Wang, D. Simons, "Towards Temporally-coherent Video Matting," in *IEEE Mirage*, 2011, pp. 63–74.
8. I. Choi, M. Lee, Y.W. Tai, "Video Matting Using Multi-Frame Nonlocal Matting Laplacian," in *European Conference on Computer Vision (ECCV)*, 2012.